

lisa

UPEC



cnes

cnrs
dépasser les frontières

Observation satellitaire de la distribution 3D des Aérosols et de la Pollution à l'Ozone à partir d'approches innovantes de télédétection

**J. Cuesta, G. Dufour, M. Eremenko,
G. Foret, A. Coman, L. Costantino,
Y. Chailleux, B. Laurent, C. Di Biagio, P. Formenti,
G. Bergametti et M. Beekmann**

**Collaborations: C. Flamant (LATMOS), F. Aires (LERMA), X. Liu (Harvard),
Y. Kanaya (JAMSTEC), M. Höpfner (KIT), Z. Cai (IAP), D. Zhou (NASA) ...**

1. La pollution à l'Ozone par satellite

- Impact majeur de l'O₃ troposphérique sur la santé et les écosystèmes

Irritation du systèmes respiratoire



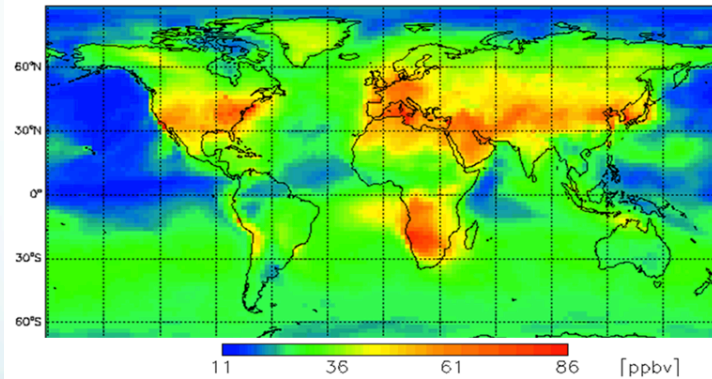
Limitation de la photosynthèse



Necroses des feuilles



- Préoccupation sociétale majeure aux échelles regionale, continentale et globale



Surface O₃ from (July 2011)

Seulement les observations satellitaires couvrent ces échelles

.... Mais les méthodes actuelles utilisant une seule bande spectrale (soit l'UV ou l'IR) montrent une sensibilité à l'O₃ au plus bas dans la troposphère libre (au-dessus de 3 km d'altitude) ...

→ Application limitée pour la qualité de l'air

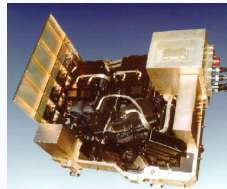
- Comment observer l'O₃ dans la **TROPOSPHERE TRES BASSE (<3 km asl)** ?

→ Nous proposons l'approche multispectrale "**IASI+GOME2**"

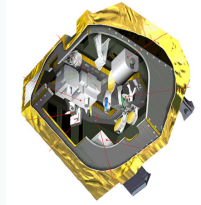
L'approche Multispectrale IASI+GOME2

Nouvelle méthode d'inversion conjointe des spectres IR et UV co-localisés

GOME-2
(Reflectance terrestre)



IASI
(Radiance thermique)



Spectres observés

UV spectrum

IR spectrum

Modèles
de transfert radiatif Spectres simulés

Conditions
atmosphériques
et de surface

UV (VLIDORT)

IR (KOPRA)

Reflectance UV

Radiance IR

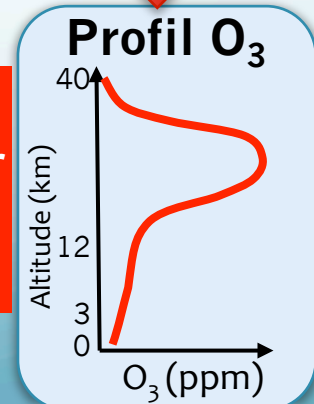
Minimisation
simultanée des
résidus UV et IR

Ajustement
d'un profil
unique d'O₃

Iterations

Augmentation de
la sensibilité dans
la très basse
troposphère

Restitution
multispectral pour
chaque pixel
satellitaire



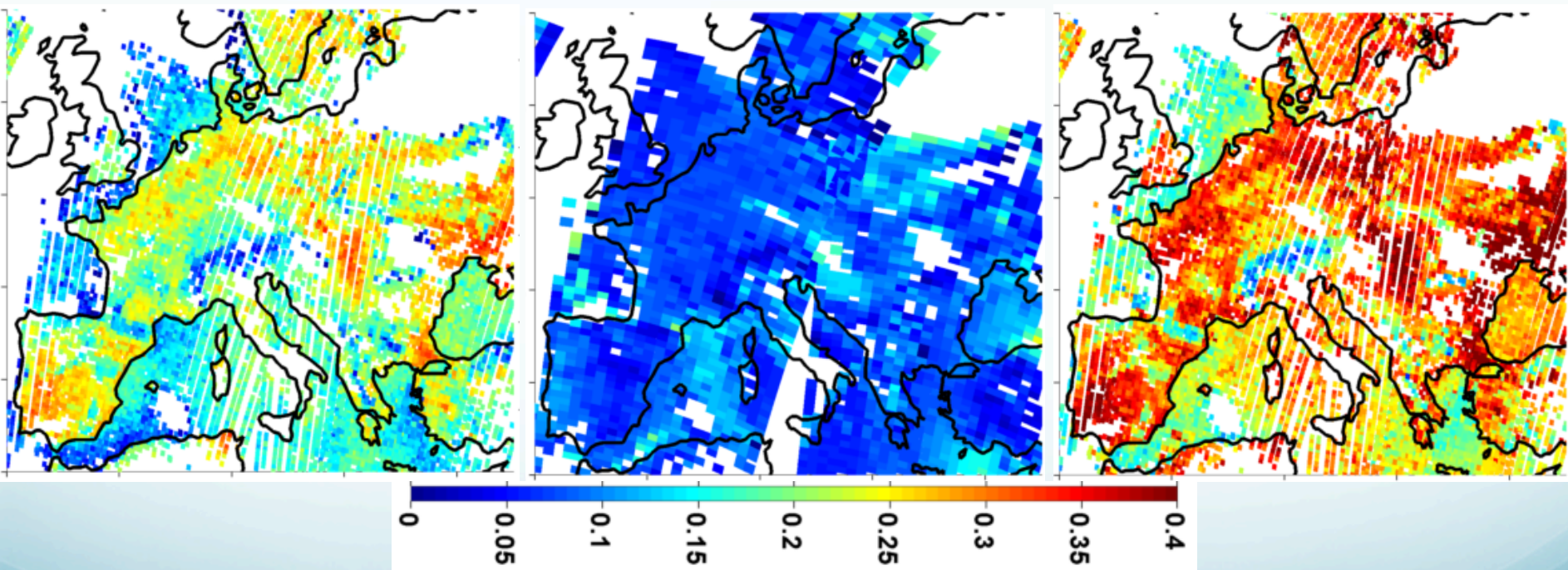
[Cuesta et al., 2013, ACP]

Sensibilité du couplage multispectral: Degrés de liberté dans la très basse troposphère (au-dessous de 3 km asl)

IASI (IR)

GOME-2 (UV)

IASI+GOME2



0.25 DOFs sur terre
0.15 DOFs sur mer

<0.10 DOFs

0.35 DOFs sur terre
0.25 DOFs sur mer
DOF_{IASI} + 40%

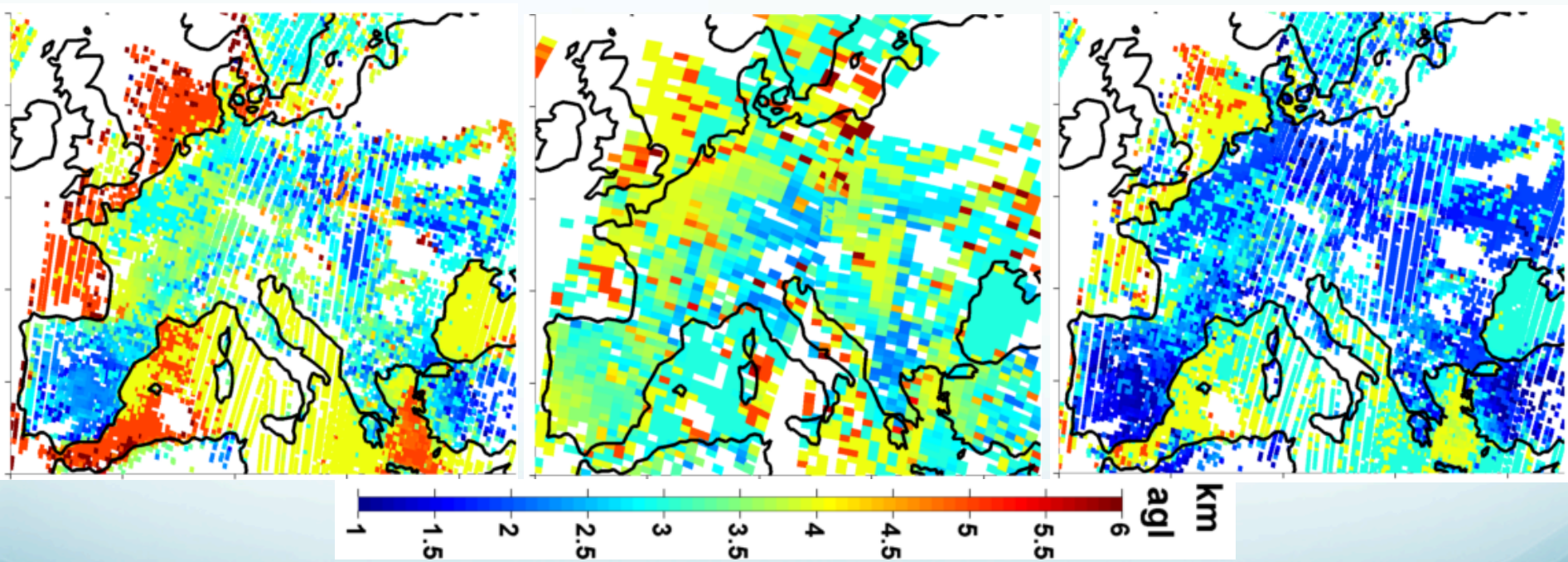
Sensibilité du couplage multispectral:

Hauteur de sensibilité maximale dans la troposphère très basse (au-dessous de 3 km asl)

IASI (IR)

GOME-2 (UV)

IASI+GOME2



3 km agl sur terre
4.3 km agl sur mer

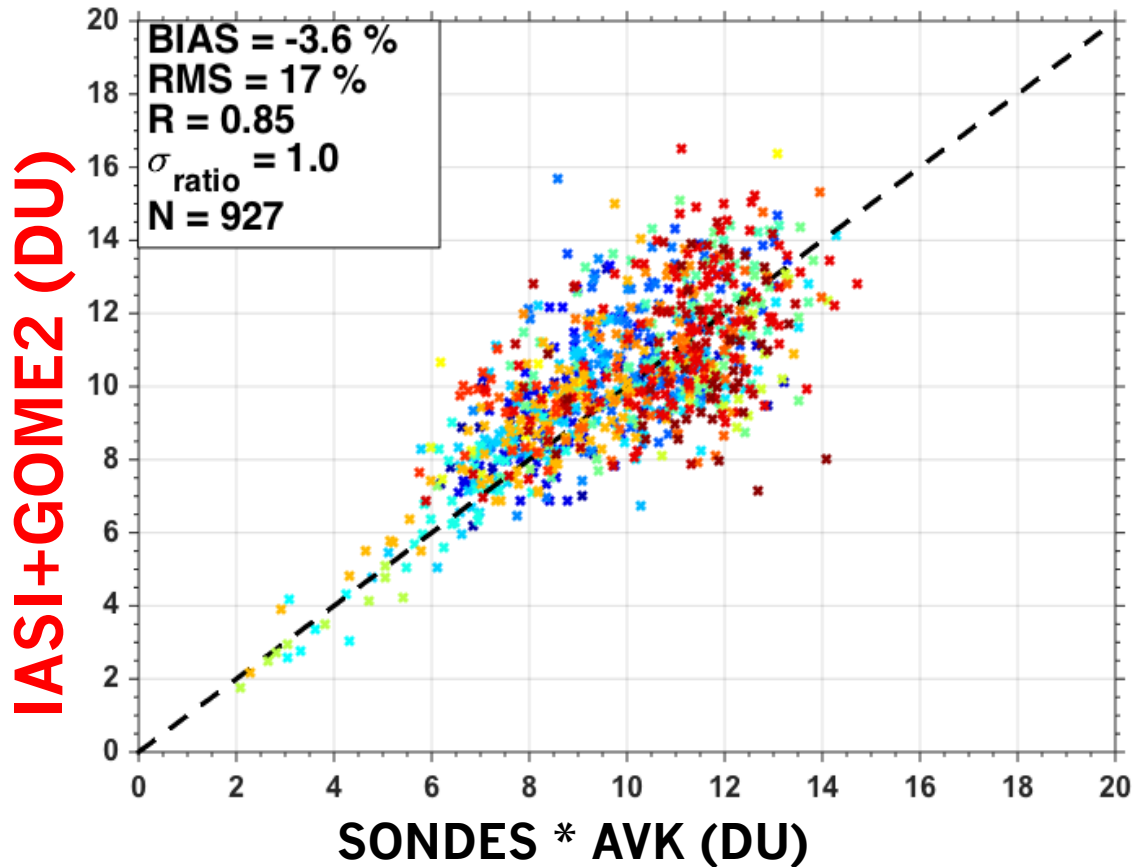
3.7 km agl

2.2 km agl sur terre
3.5 km agl sur mer
 $H_{IASI} - 800 m$

Validation du couplage IASI+GOME2 :

IASI+GOME2 vs. Ozonesondes

Très basse troposphère :
Colonnes partielles surface-3 km asl



- ✓ 927 sondages (en ciel clair)
- ✓ 44 stations atour du monde
- ✓ Période: 2009 et 2010
- ✓ 9239 pixels satellitaires



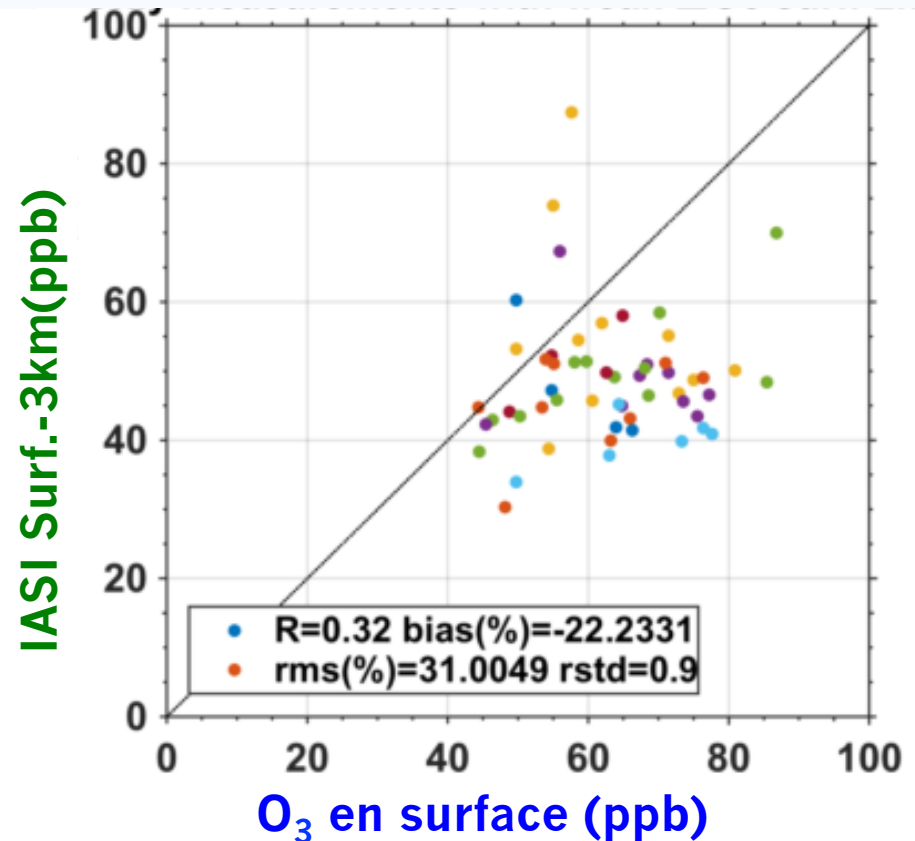
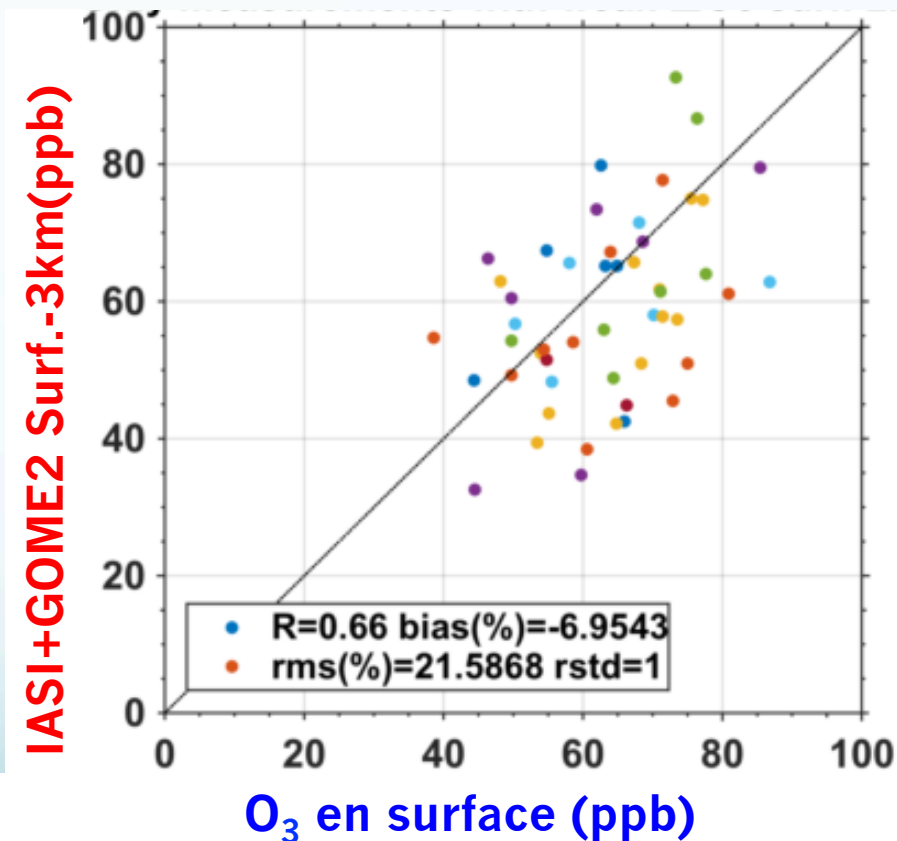
Bon accord avec les sondes:

- ✓ Faible biais moyen: -3,6 %
- ✓ Très bonne corrélation: 0,85
- ✓ Bonne précision (RMS): 17%
- ✓ Bonne variabilité

Validation du couplage IASI+GOME2 :

IASI+GOME2 vs. Mesures In situ à la surface

2 épisodes de pollution en Asie de l'est: 4-9 Avril et 4-9 Mai 2009
Cas avec un gradient entre la surface et 2 km < 20 ppb (selon CHASER)



- ✓ **Bonne corrélation : Unique actuellement**
- ✓ Faible biais moyen
- ✓ Précision proche de l'erreur de IASI+GOME2

La variabilité à la surface n'est pas observée avec IASI seul

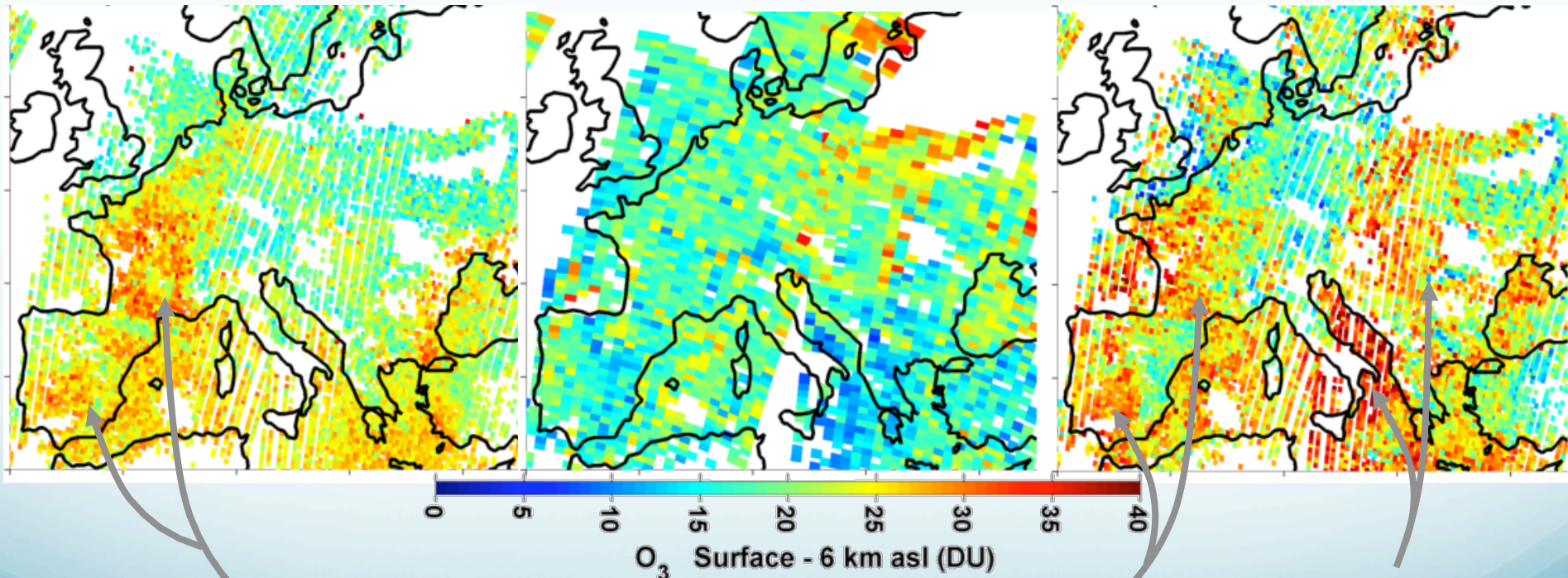
Observations satellitaires de la pollution O_3 : IASI+GOME2 vs. approche à une bande spectrale

19 Août 2009

IASI (IR)

GOME-2 (UV)

IASI+GOME2



*Panaches d' O_3 à l'ouest montrés
par IASI et IASI+GOME2 → jusqu'à 4-5 km asl*

*Panaches d' O_3
à l'est et sur mer
seulement observés par
IASI+GOME2*

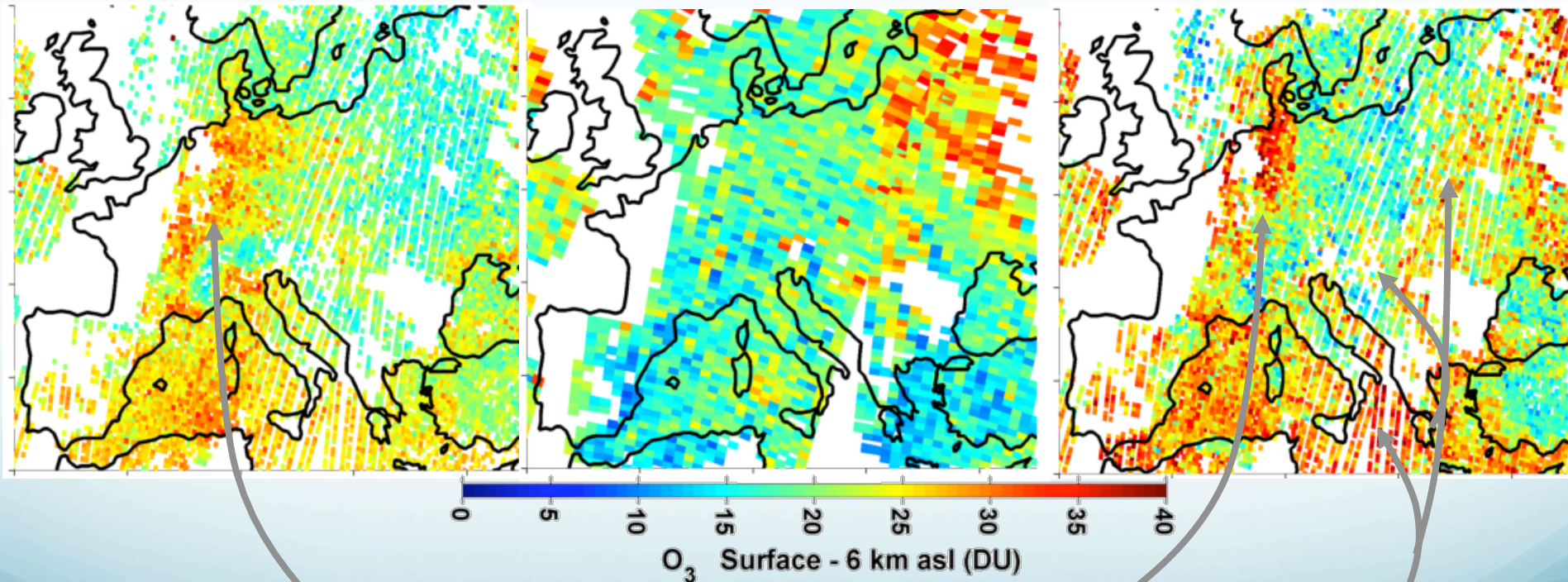
Observations satellitaires de la pollution O_3 : IASI+GOME2 vs. approche à une bande spectrale

20 Août 2009

IASI (IR)

GOME-2 (UV)

IASI+GOME2



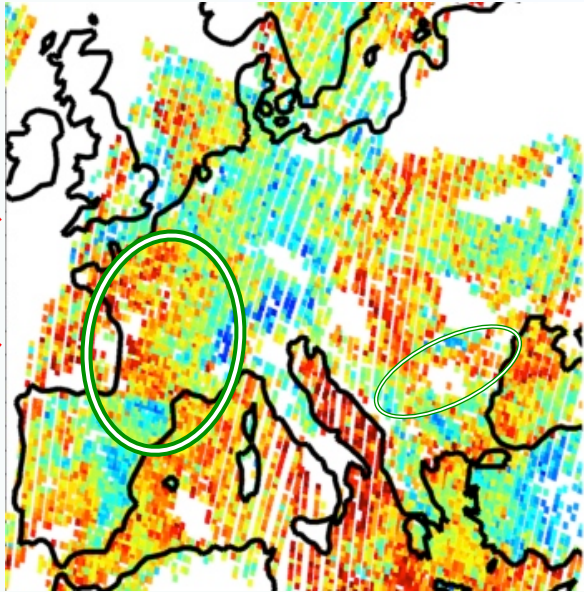
*Panaches d' O_3 à l'ouest montrés
par IASI et IASI+GOME2 → jusqu'à 4-5 km asl*

*Panaches d' O_3
à l'est et sur mer
seulement observés par
IASI+GOME2*

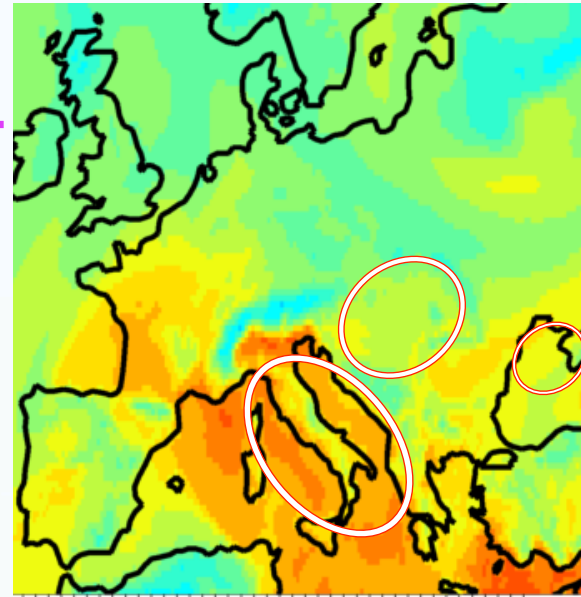
IASI+GOME2 vs. CHIMERE :

19 August 2009

IASI+GOME2
Très basse Tropo
(<3km)

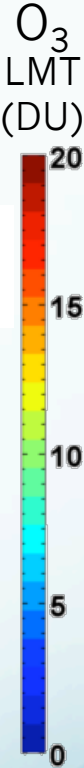


CHIMERE raw
Très basse tropo

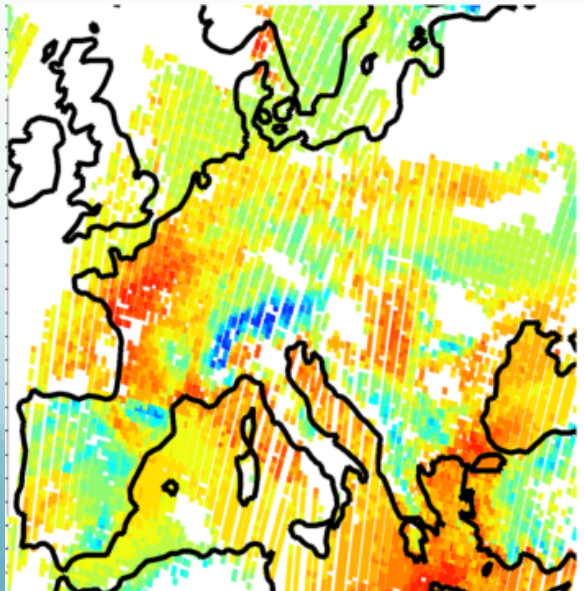


Plumes
below
3 km asl

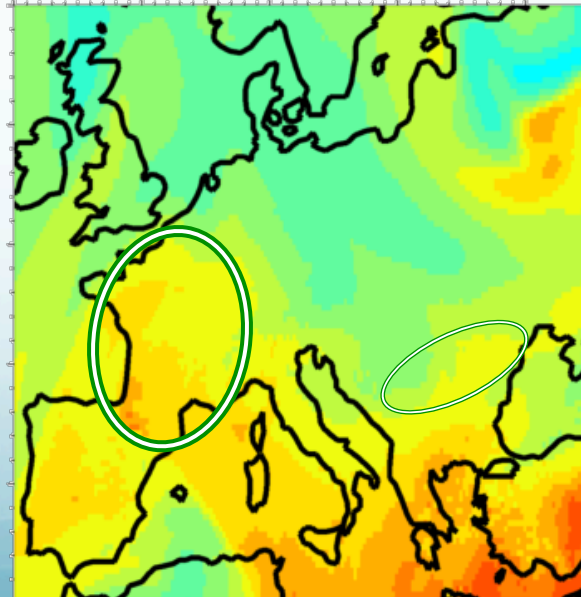
Only seen by
IASI+GOME2



CHIMERE*avk
Très basse tropo



CHIMERE raw
3 – 6 km asl



Also
above

Also observed
by IASI over land

2. Desert dust distribution by satellite

**3D
distribution
of desert
dust**



Life cycle of dust:
uplift, transport and
deposition

Environmental impacts:
Air quality, radiative budget,
atmospheric dynamics, etc.

→ Satellite observations are key for observing desert dust distribution, but standard products only provide a 2D distribution (horizontal and transects) or a mean altitude of dust layers.

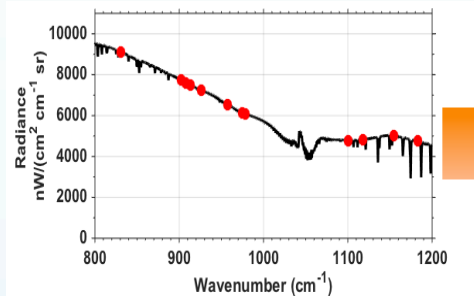
→ We propose to describe the full 3D distribution of dust with

AEROIASI

AEROIASI:

Retrieval of the 3D distribution of desert dust for each IASI overpass

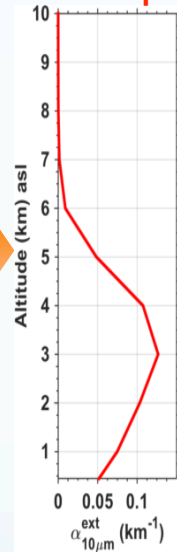
Cloud-free
IASI spectra



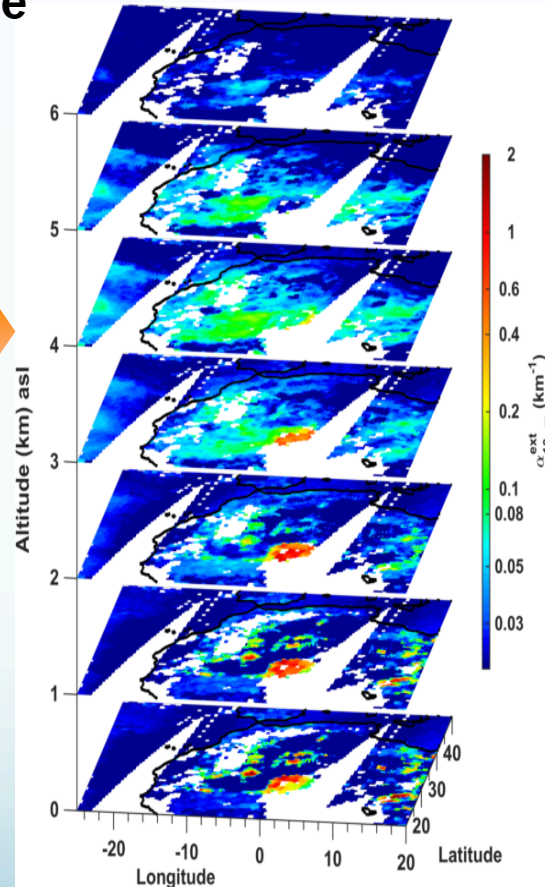
12 μ -fenetres
entre 8-12 μm

Dust
extinction profile

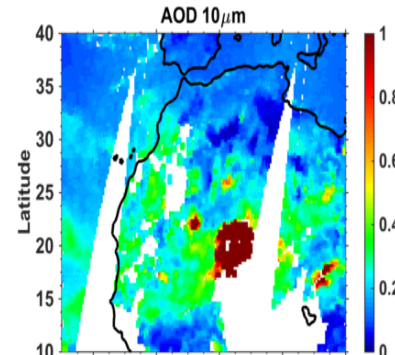
à 10 μm



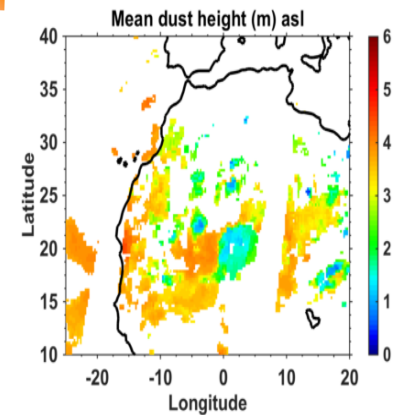
3D distribution of dust



AOD at 10 μm



Altitude of dust

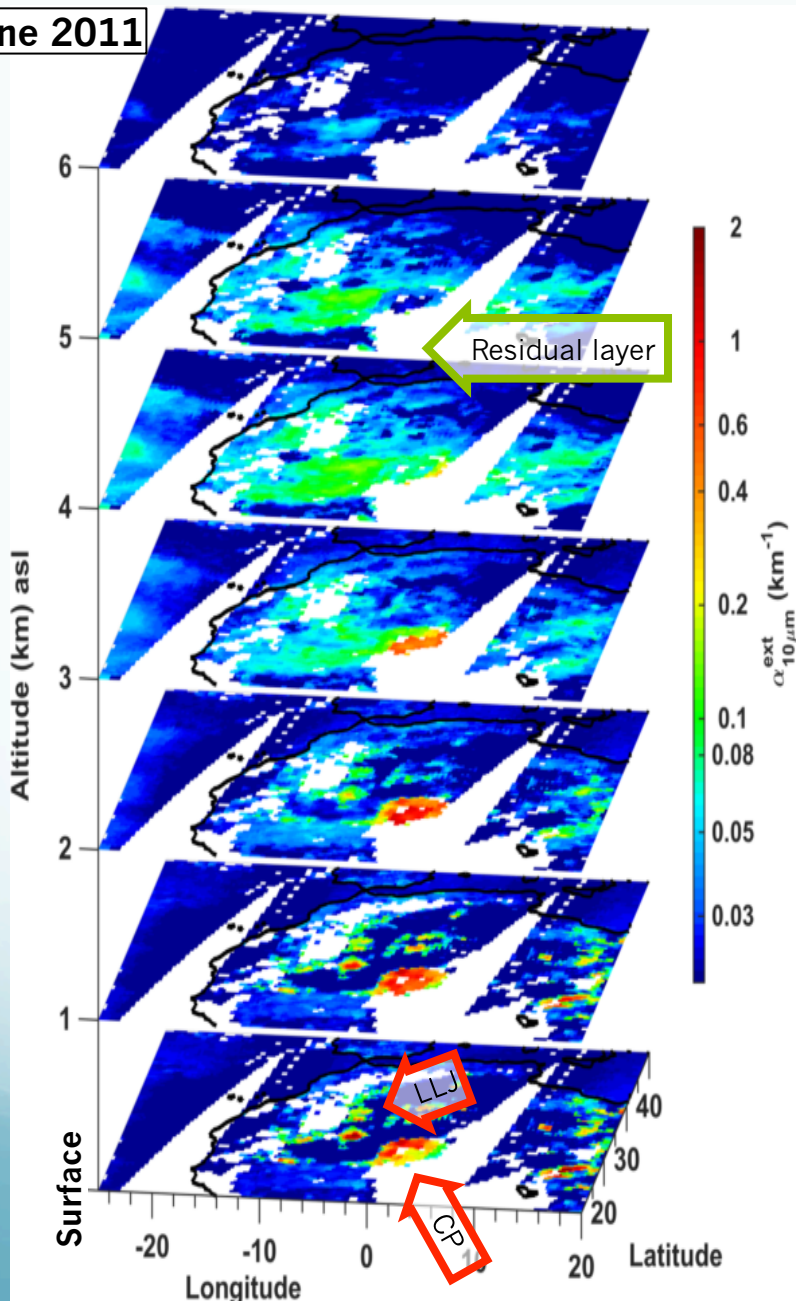


T_{surf} &
 $N_{\text{AERO}}(z)$

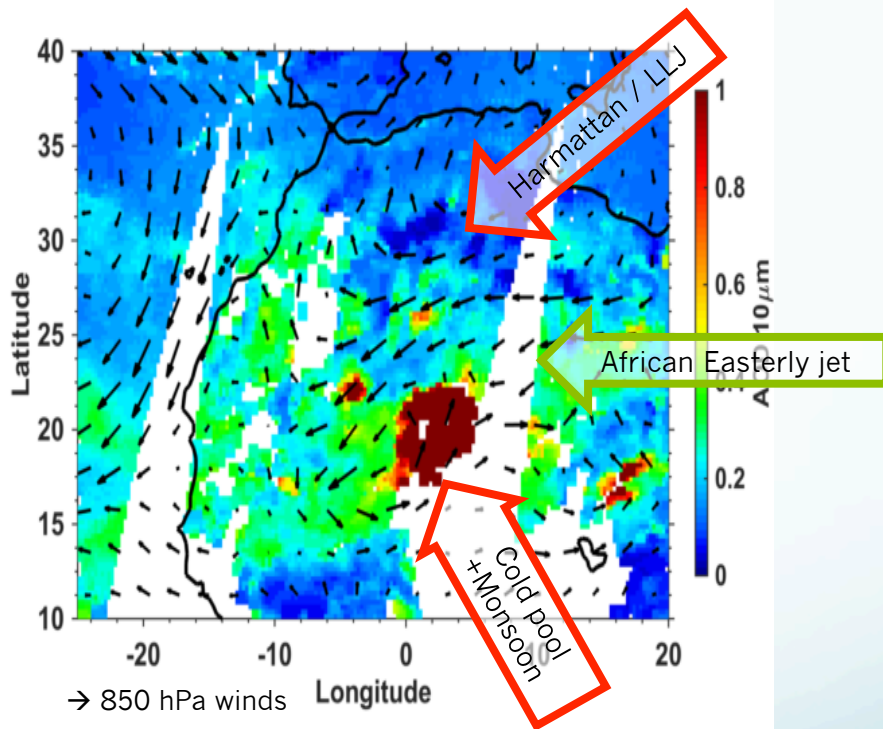
Auto-adaptive Tikhonov-
Philips regularization

Saharan dust in 3D from AEROIASI

17 June 2011

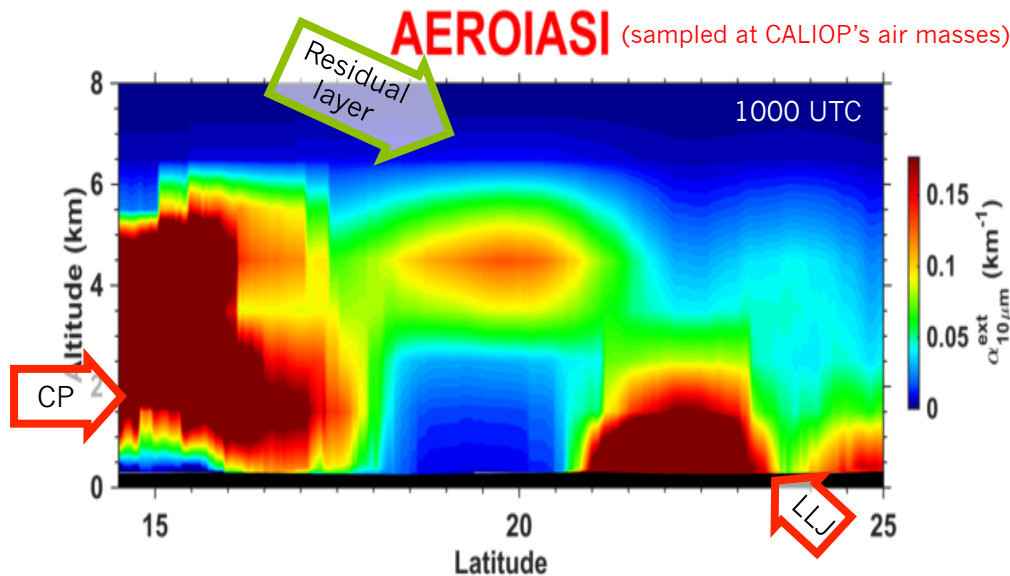
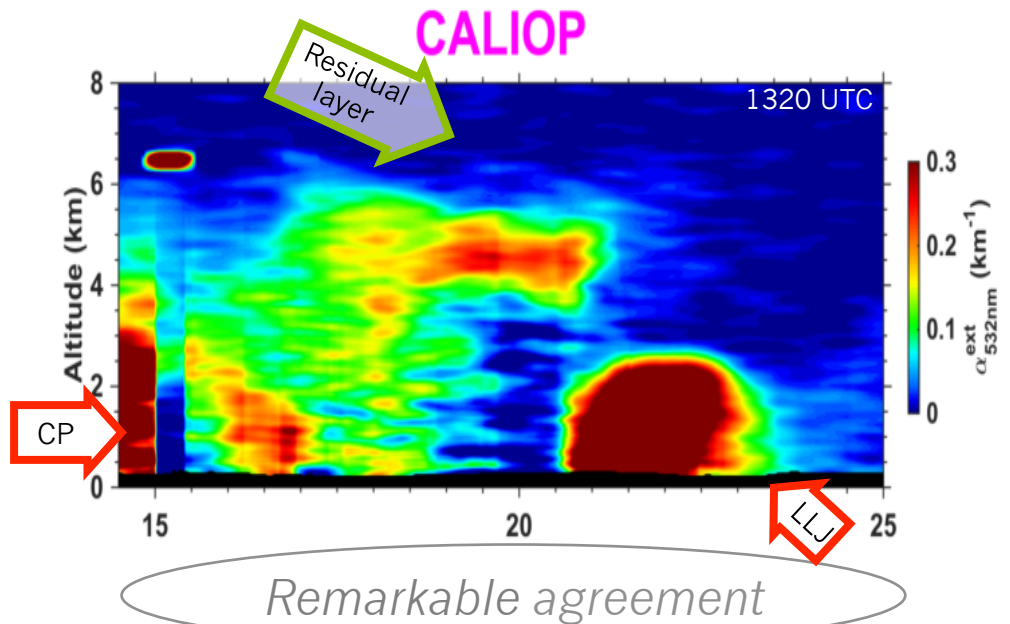
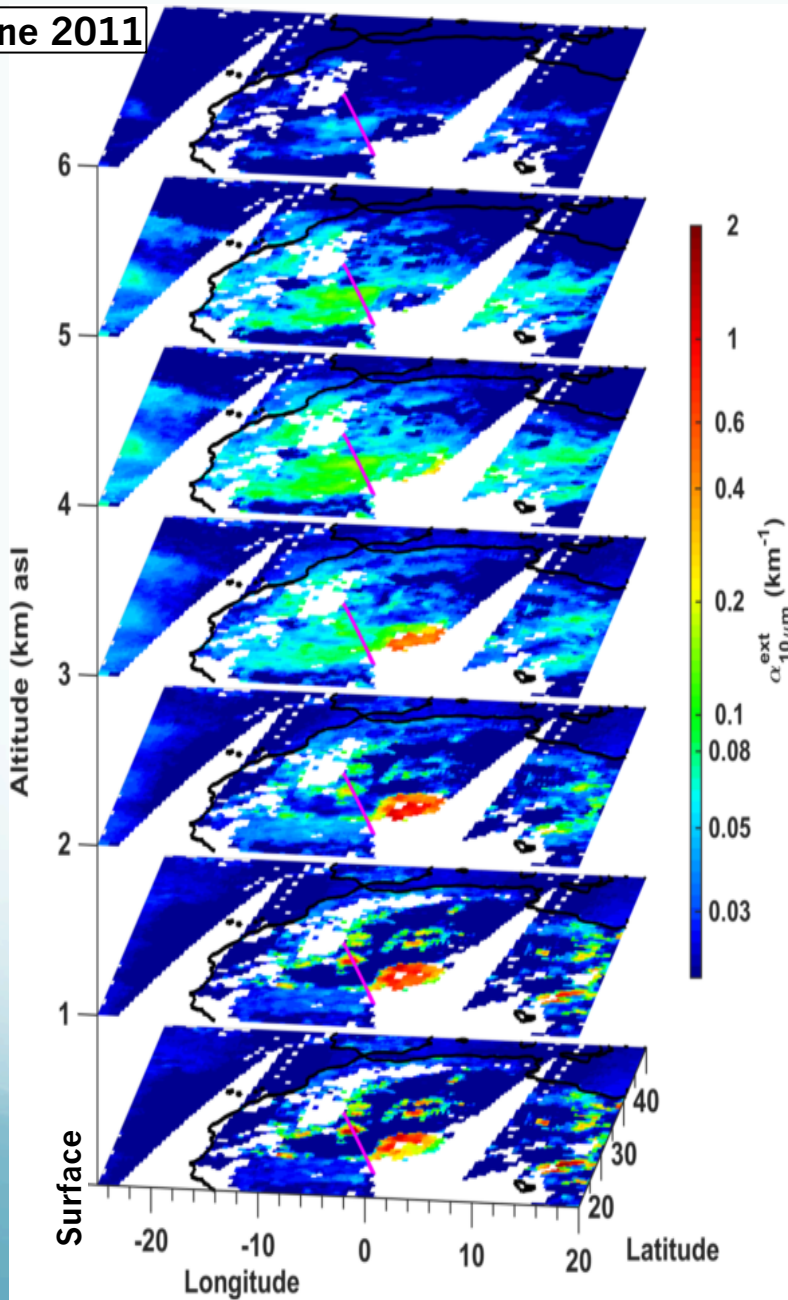


Dust uplift and transport



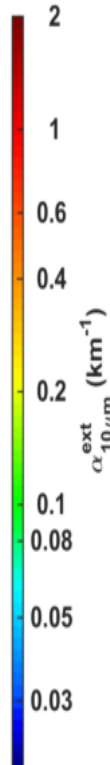
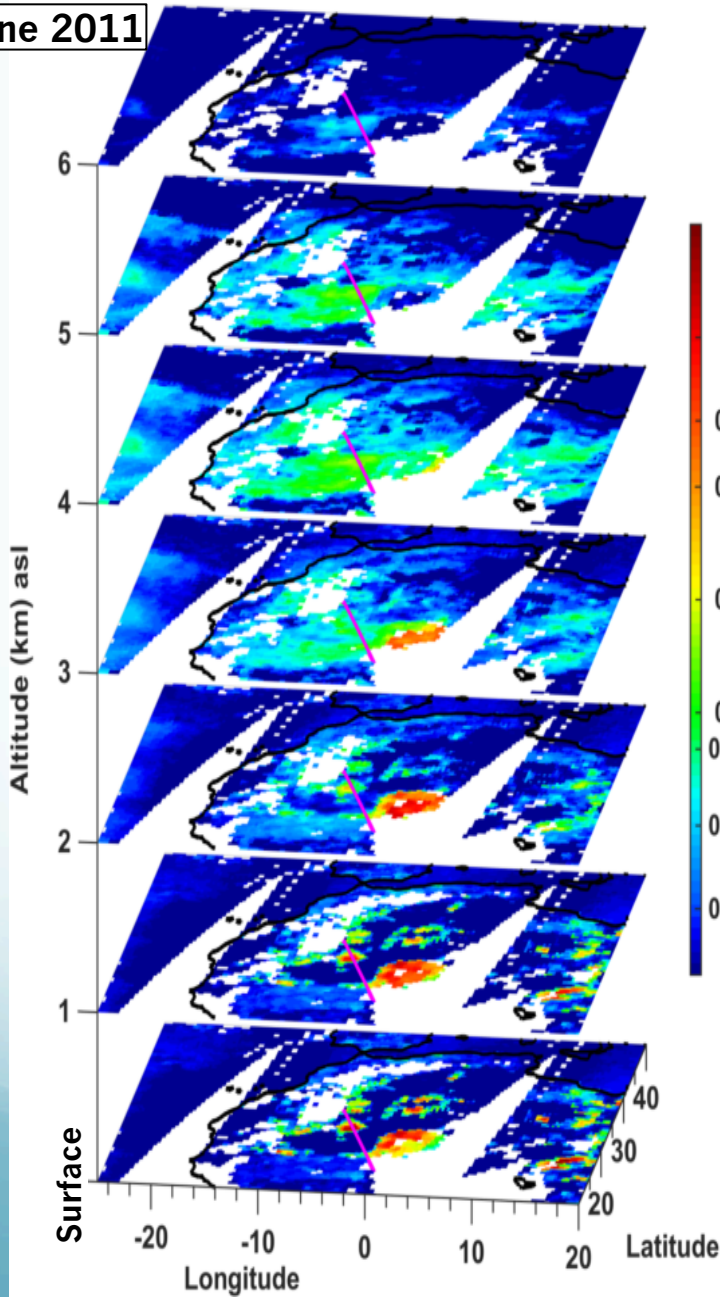
Saharan dust in 3D from AEROIASI

17 June 2011



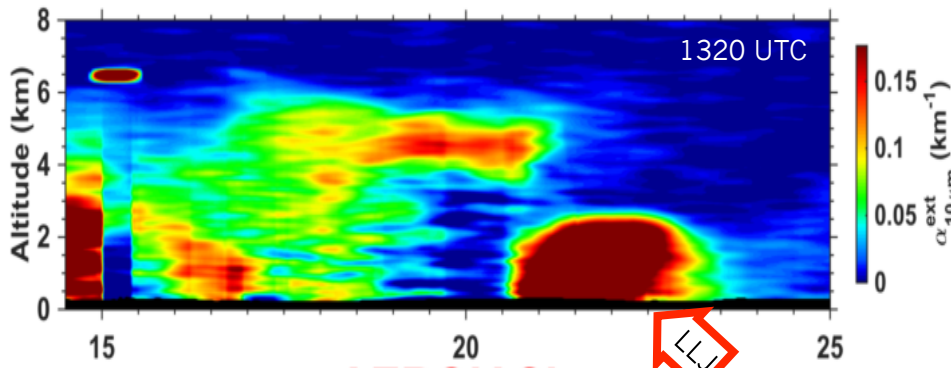
Saharan dust in 3D from AEROIASI

17 June 2011

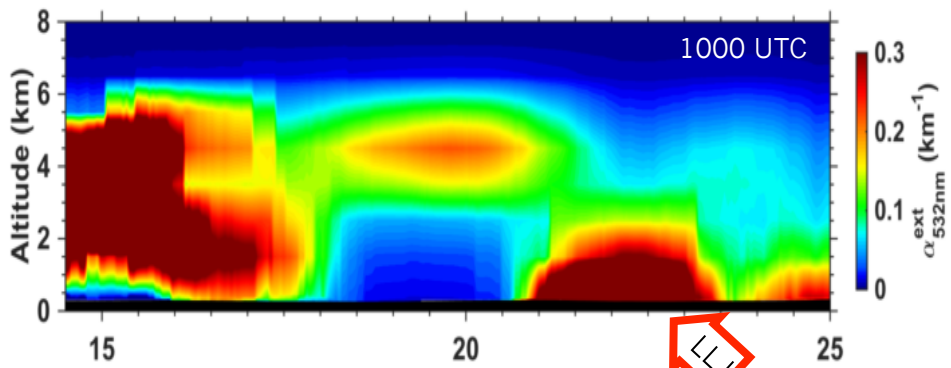


CP: Missing source

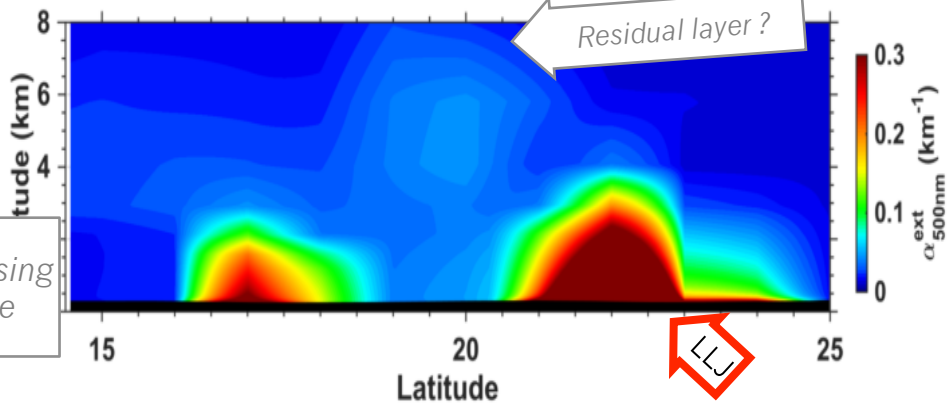
CALIPOP



AEROIASI



CHIMERE



Summary

Two new and currently unique satellite approaches for:

- ✓ IASI+GOME2: depicting lowermost tropospheric ozone (Cuesta et al., 2013)
 - Based on the **simultaneous fit of UV and IR** spectra
 - **Validated** against in situ measurements (sondes and at the **surface**)
 - Describe the daily distribution of **ozone plumes below 3 km**.
 - New insights on the **evolution of photo-chemical production of ozone during transport in synergism with CO measurements**.

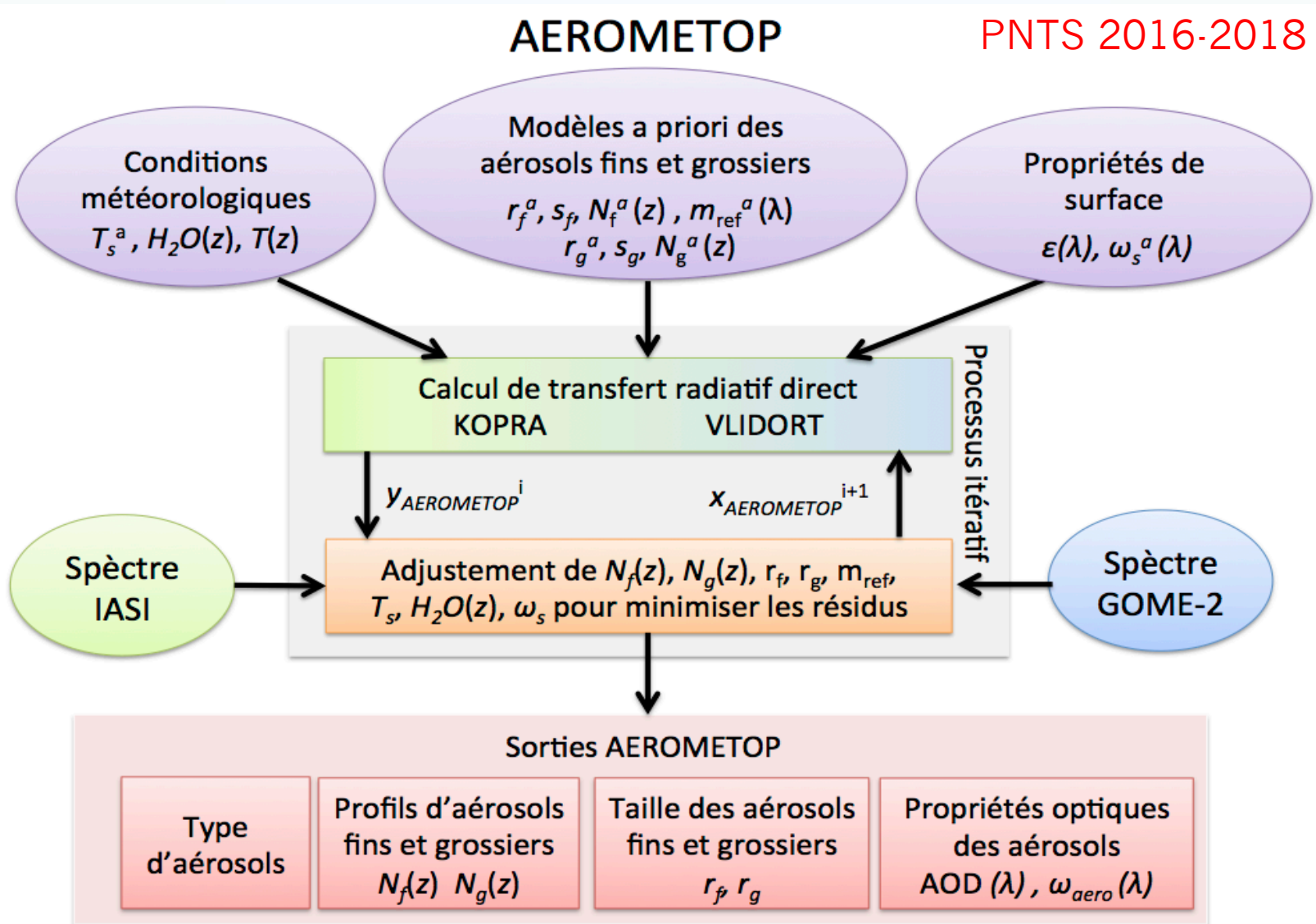
- ✓ AEROIASI: observing the 3D distribution of coarse aerosols (Cuesta et al., 2015)
 - **Auto-adaptive fit of IR** spectra
 - **Validated against CALIOP** lidar transects (vertical structure of dust plumes) and other satellite products for the horizontal distribution
 - New insights on **dust emission mechanisms and 3D transport pathways of dust in link with mixing mechanisms**

- On-going & upcoming:
 - Comparisons with chemistry-transport models (CHIMERE, WRF-Chem) and other state-of-the-art satellite observations
 - Massive production and **dissemination of IASI+GOME2 observations** by the French national datacentre AERIS

New development: AEROMETOP

Multispectral retrieval of aerosols

PNTS 2016-2018



Acknowledgements

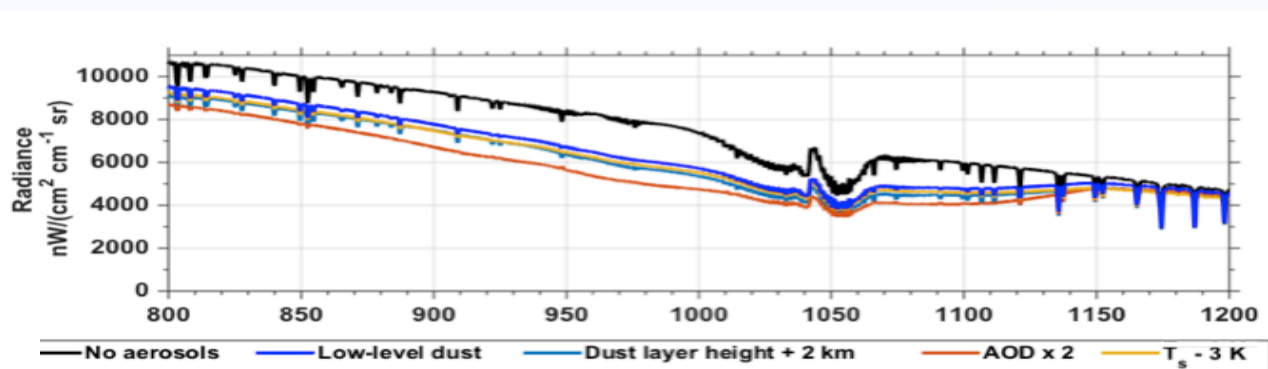


Principle for observing dust vertical distribution with IASI

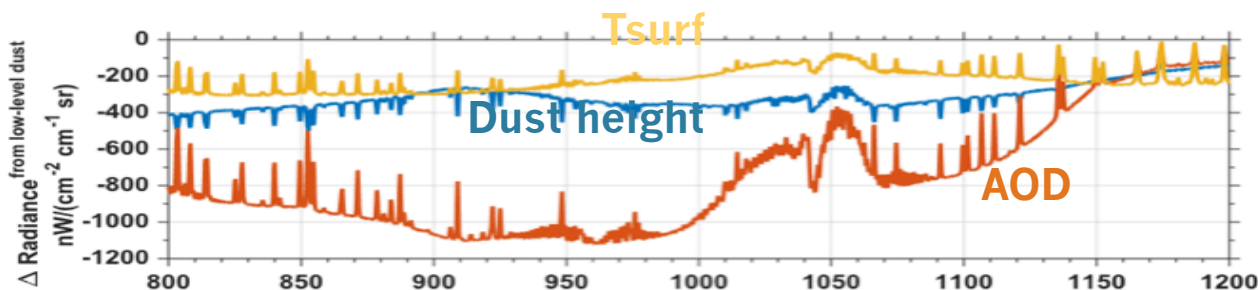
Aerosols in the thermal infrared

- Absorption (AAOD)
- Scattering (SAOD=AOD-AAOD)
- Emission (T_{layer})

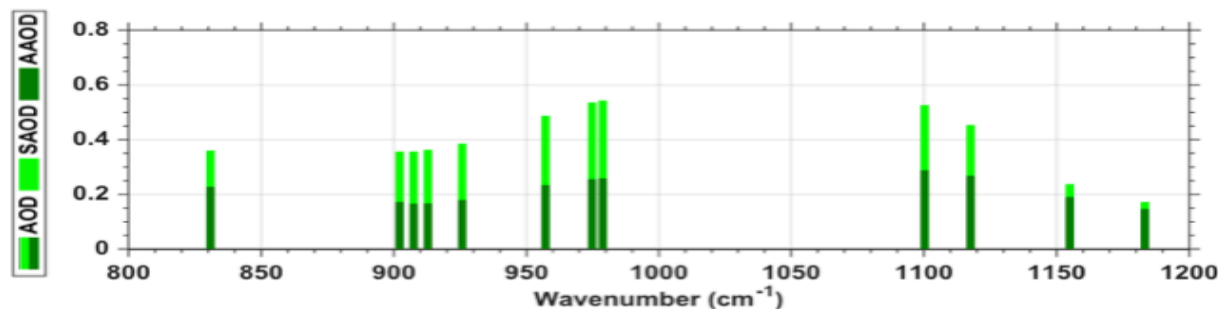
IASI spectra



Differences in IASI spectra



Optical properties of dust

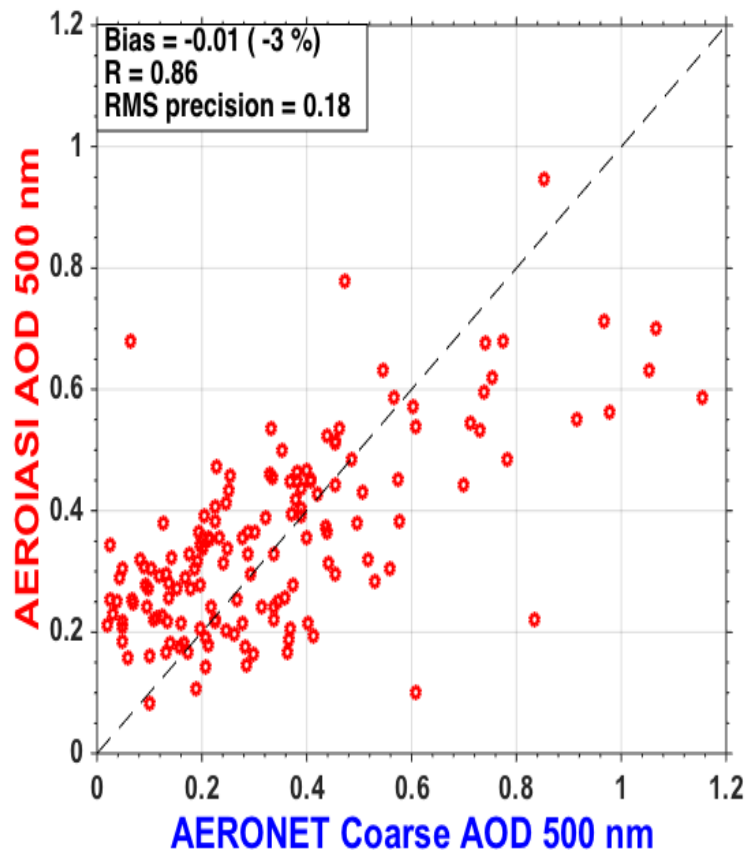
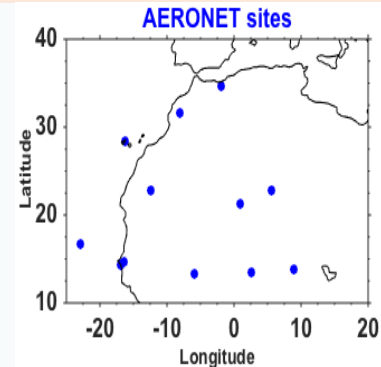


AOD from AEROIASI vs AERONET

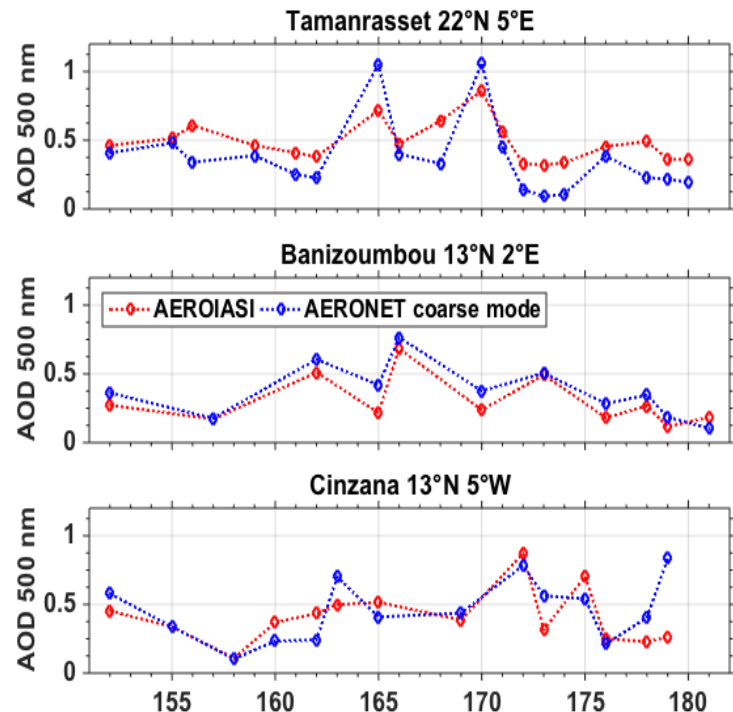
Daily comparison of AEROIASI with AOD^{Coarse} from 12 AERONET sites in June 2011

- ✓ Low mean bias : **<3%**
- ✓ Good correlation: **R=0.86**
- ✓ Precision : **0.18**
- ✓ From this comparison we estimate

$$\frac{AOD_{500nm}^{Total}}{AOD_{10\mu m}} \approx 1.7$$



- ✓ Good tracking of dust content evolution

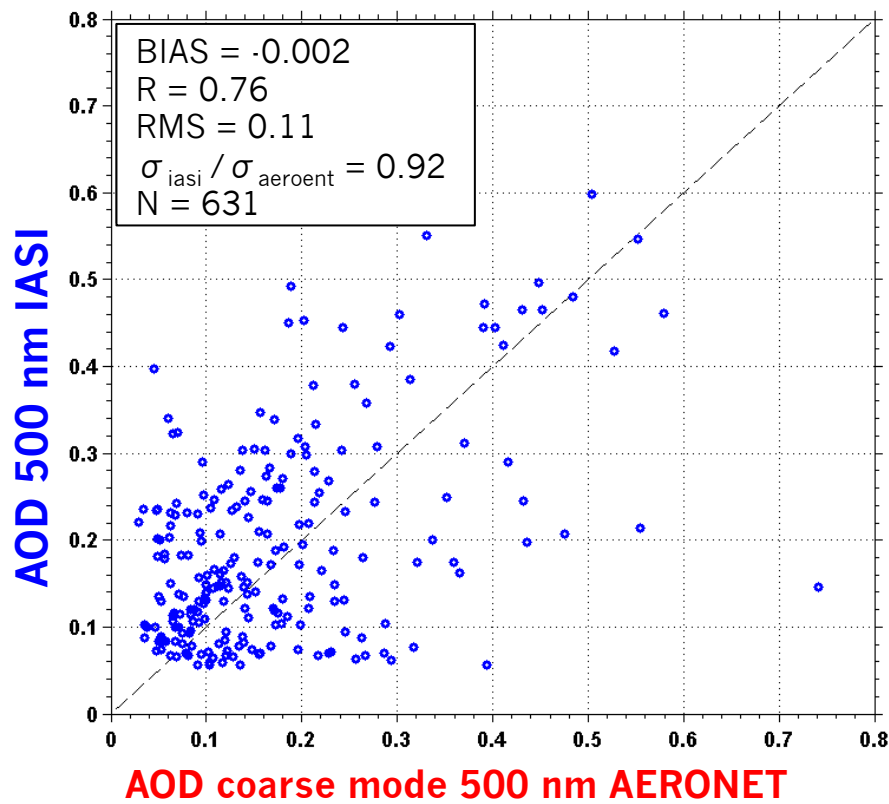
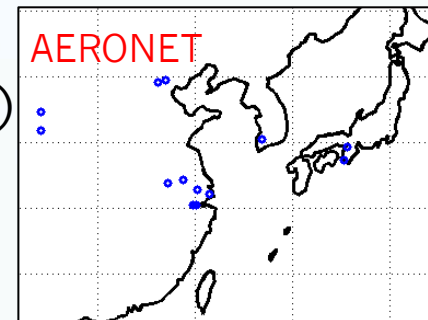


Validation of new aerosol observations

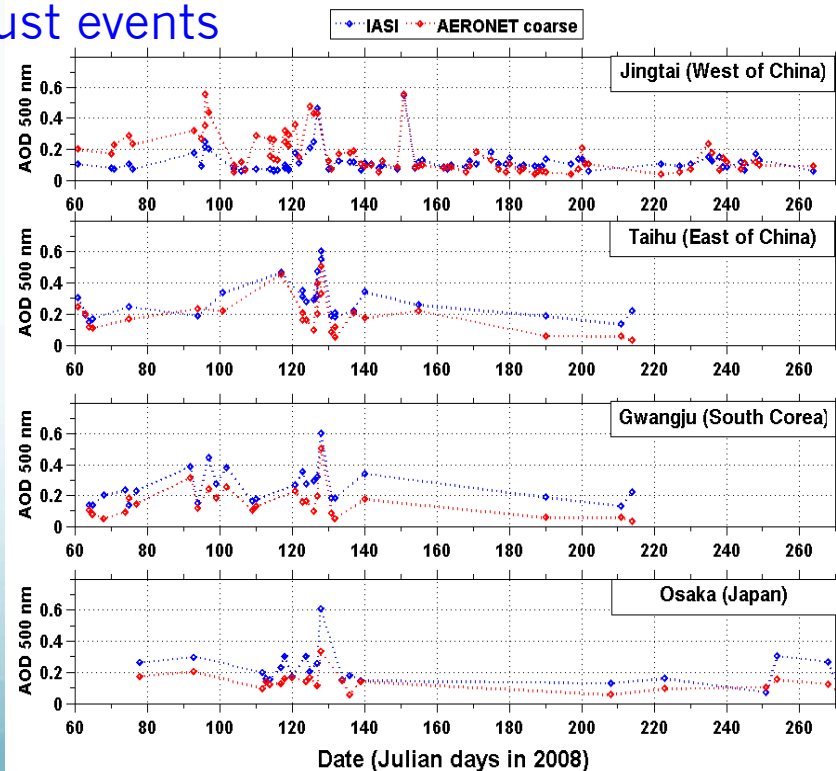
Dust aerosols from IASI vs. AERONET

Daily comparison of IASI with AOD_{coarse} from 13 sites between March-September 2008 (period with dust outbreaks)

- ✓ Negligible mean bias : $<1\%$
- ✓ Good correlation: $R=0.76$
- ✓ IASI reproduces well the AOD variability seen by AERONET



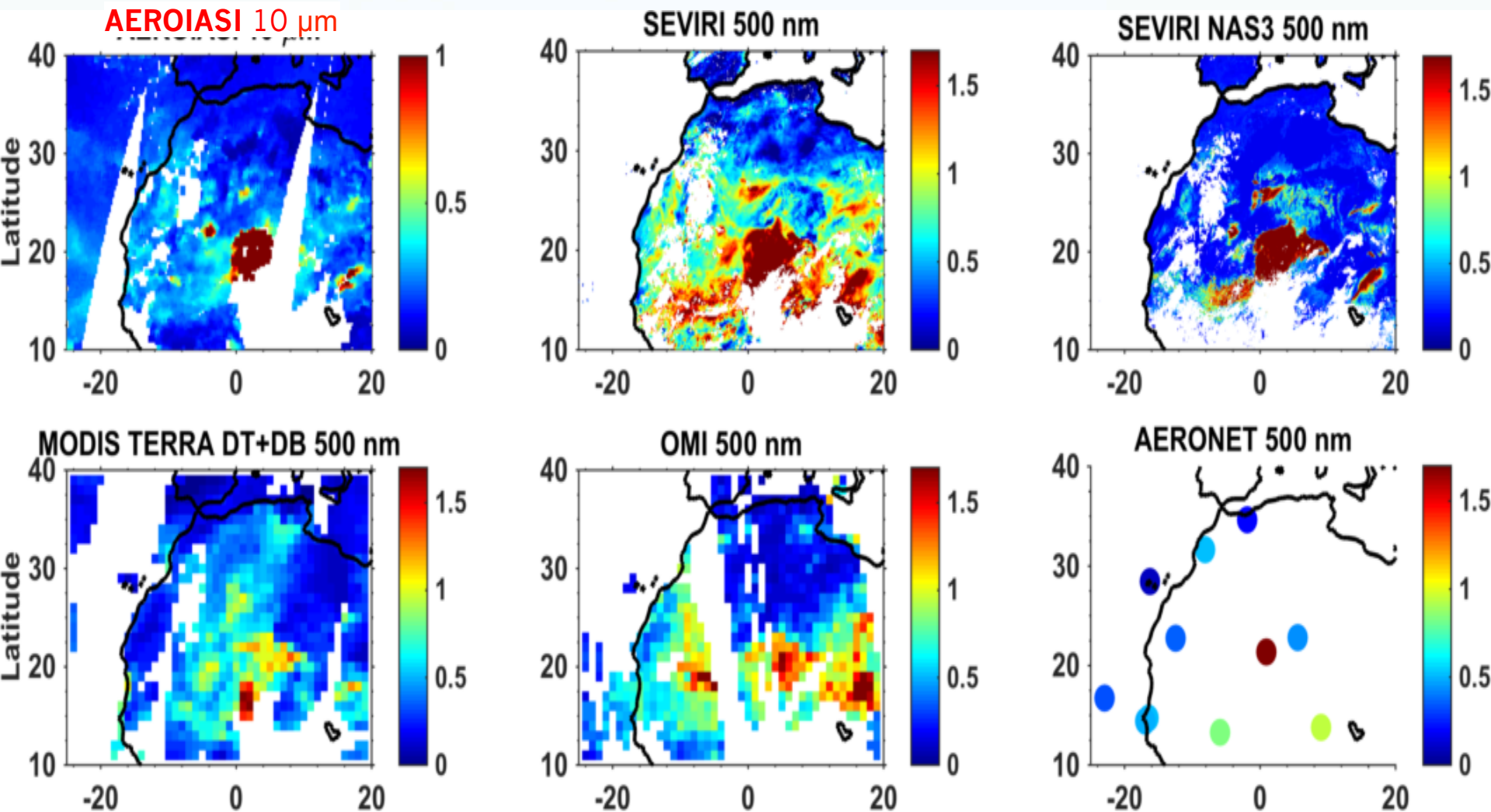
- ✓ Good detection & quantification of daily dust events



AOD: Aerosol Optical Depth

Dust horizontal distribution: **AEROIASI** vs other products

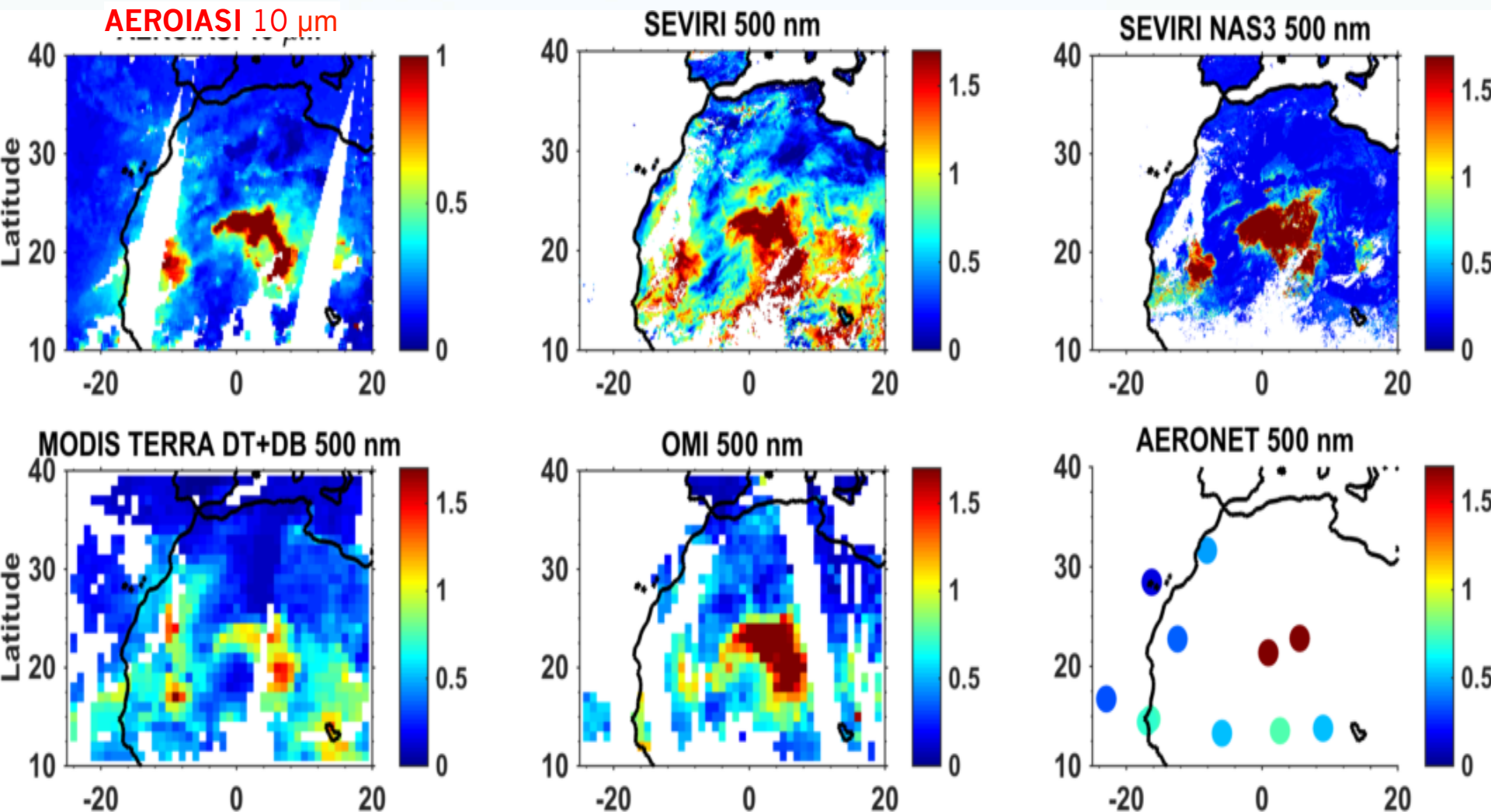
17 June 2011



- AEROIASI: dust structures in close agreement with SEVIRI and quantitative agreement with AERONET
- Underestimation for MODIS and OMI with respect to other products and AERONET

Dust horizontal distribution: **AEROIASI** vs other products

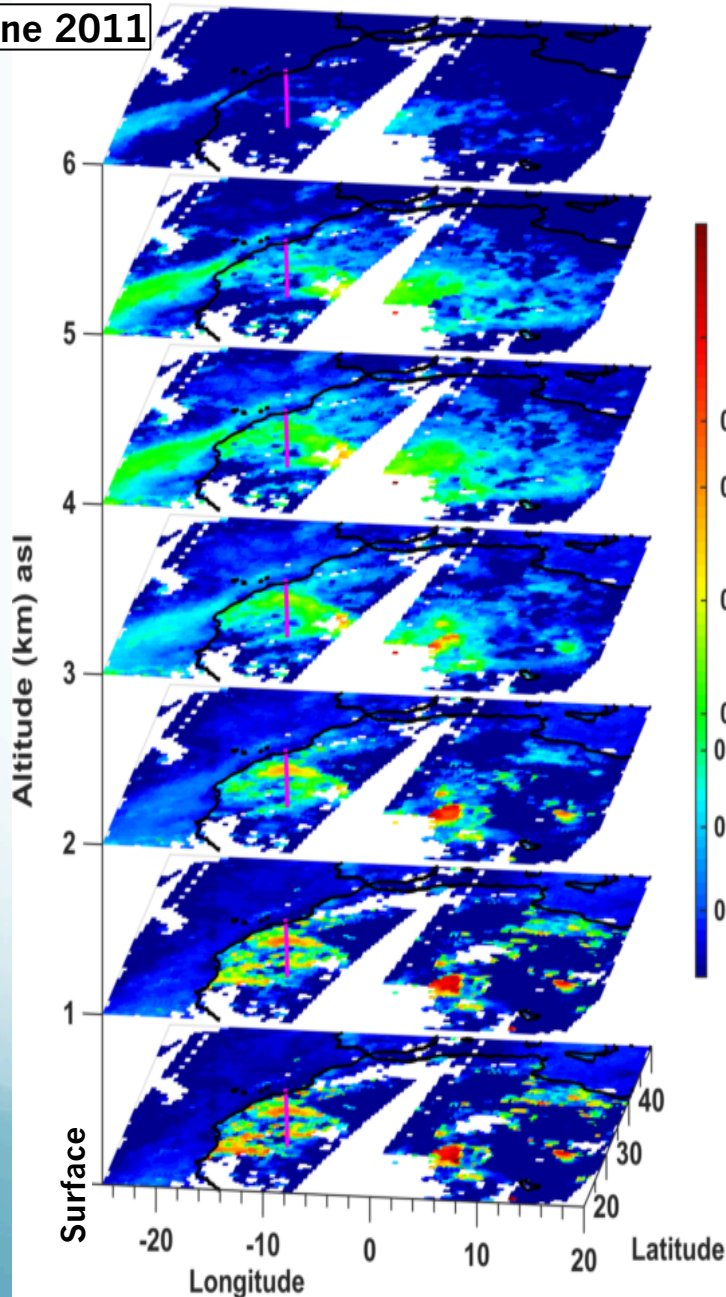
18 June 2011



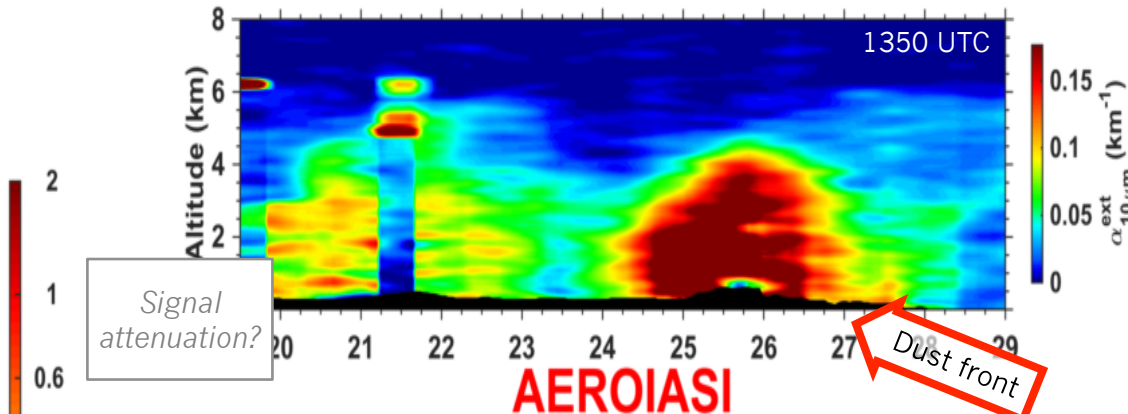
- AEROIASI: dust structures in close agreement with SEVIRI and quantitative agreement with AERONET
- Underestimation for MODIS over the Sahara with respect to other products and AERONET
- Agreement of AEROIASI and MODIS over the Atlantic

Saharan dust in 3D from AEROIASI

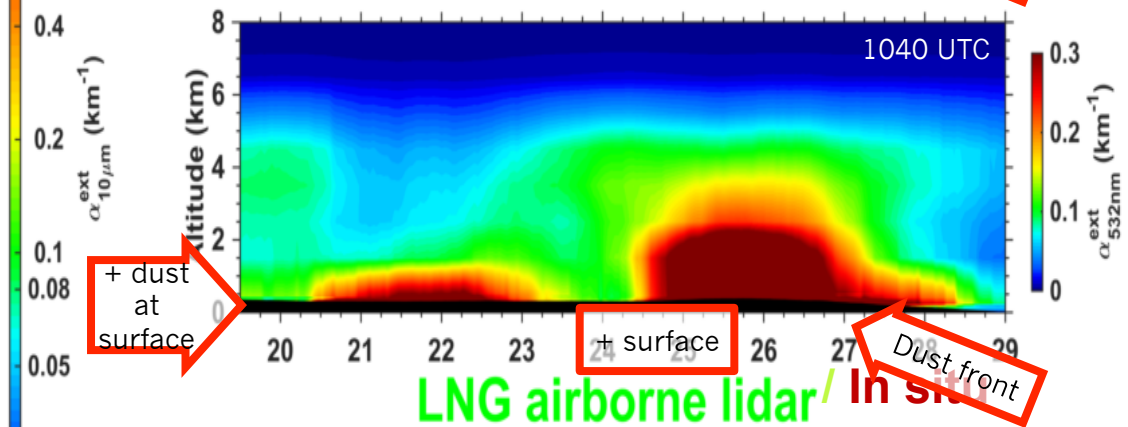
20 June 2011



CALIOP



AEROIASI



LNG airborne lidar / In situ

